

تحلیل و پهنه‌بندی مخاطرات ژئومورفولوژیک (لغزش و سیل) استان البرز با استفاده از Mدل‌های VIKOR-AHP و FR

فاضل‌الله خدادادی* - دانشجوی دکتری رشته مخاطرات ژئومورفولوژیک، دانشکده علوم جغرافیایی و برنامه‌ریزی، دانشگاه اصفهان
مژگان انتظاری* - دانشیار گروه جغرافیای طبیعی، دانشکده علوم جغرافیایی و برنامه‌ریزی، دانشگاه اصفهان
فرزانه ساسان‌پور - دانشیار گروه برنامه‌ریزی شهری، دانشکده علوم جغرافیایی، دانشگاه خوارزمی

تاریخ دریافت: ۱۳۹۷/۴/۱۲ تاریخ پذیرش: ۱۳۹۷/۱۰/۲۴

چکیده

مخاطرات زمینی و ژئومورفیک از مخاطرات مهم طبیعی‌اند که سالیانه خسارات جانی و مالی زیادی در کل کشورهای جهان و بهویژه ایران بدبار می‌آورند. از این‌رو، مطالعه و تهیه نقشه‌پهنه‌بندی مخاطرات امروزه یکی از اولویت‌های هر کشور به‌شمار می‌آید. در این تحقیق به بررسی مخاطرات زمین‌لغزش و سیل در سطح استان البرز پرداخته شده است. برای تهیه نقشه‌پهنه‌بندی خطر زمین‌لغزش استان، از مدل ترکیبی VIKOR-AHP و برای تهیه نقشه‌پهنه‌بندی خطر سیل از مدل نسبت فراوانی FR استفاده شد. سپس، به‌منظور داشتن دیدی کلی و جامع نسبت به وضعیت این مخاطرات، نقشه‌تلغیقی مخاطرات استان، که از همپوشانی دو نقشه‌پهنه‌بندی سیل و زمین‌لغزش است، با استفاده از مدل FUZZY تهیه شد. طبق نتایج نهایی حاصل از نقشه‌های پهنه‌بندی هر یک از مخاطرات، ۰۳۳/۰۹ درصد سطح استان در پهنه با خطر زیاد زمین‌لغزش و ۰۲۱/۲۱ درصد از سطح استان در پهنه خطر متوسط سیل قرار دارد که شناسایی و پهنه‌بندی مناطق دارای پتانسیل خطر و قوع این‌گونه مخاطرات اهمیت بسیاری دارد.

وازگان کلیدی: استان البرز، مخاطرات ژئومورفیک، مدل نسبت فراوانی، مدل VIKOR-AHP.

مقدمه

مخاطرات طبیعی با انواع گوناگون و میزان تأثیرگذاری، به عنوان پدیده‌های تکرارشدنی و مخرب، همواره در طول حیات کره زمین وجود داشته‌اند و پس از پیدایش بشر نیز همیشه خطری جدی برای انسان‌ها بوده‌اند. براین‌اساس، می‌توان اذعان کرد که هیچ جامعه‌ای ادعای مصوبیت از مخاطرات طبیعی را ندارد و انسان‌ها همواره با تأثیرات عینی و ذهنی زیان‌بار آن مواجه‌هستند (غفوری، ۲۰۰۵). مخاطرات طبیعی با تخریب منابع درآمد، امکانات زیستی، و مراکز فعالیت مردم (خانه‌ها، کارگاه‌ها، مزارع، و ...) به افزایش آسیب‌های اقتصادی و فیزیکی دامن می‌زنند. در این میان، سیل و لغزش جزو حوادث ویرانگرند. بنابراین، شناسایی مناطقی که توسعه بیشتری از این‌گونه مخاطرات طبیعی دارند می‌تواند در جهت برنامه‌ریزی برای مقابله یا کاهش اثرهای این حادث مؤثر باشد. پژوهشگران بسیاری در ارتباط با پهنه‌بندی مخاطرات طبیعی فعالیت کرده‌اند که می‌توان به موارد زیر اشاره کرد:

سپهر و همکاران (۱۳۹۲)، در پژوهشی، نقشه حساسیت‌بزیری زمین‌لغزش در دامنه‌های شمالی بیان‌الود را بر پایه الگوریتم بهینه‌سازی توافقی VIKOR تهیه و در آن خطر ریسک در زیرحوضه‌های مختلف را بررسی کردند.
کریمی سنگ‌چینی و همکاران (۲۰۱۲)، با استفاده از سه مدل آماری - AHP، مدل رگرسیون چندمتغیره گام‌به‌گام، و رگرسیون چندمتغیره لجستیک - نقشه‌پهنه‌بندی خطر زمین‌لغزش را در حوضه چلچای در استان گلستان تهیه کردند.

آریان‌پور و جمالی (۲۰۱۵)، در مقاله خود، در امیدیه خوزستان، با استفاده از قوانین فازی در مدل SMCE و فرایند تحلیل سلسله‌مراتبی AHP و ادغام لایه‌های GIS، نقشه شاخصی را که در آن مناطق حساس به سیل مشخص بودند تهیه کردند و درنهایت دلایل وجود سیل در مناطق پُرخطر را کمترین زمان تمرکز، شیب بالاتر، نفوذپذیری کم، و نزدیکی به تأسیسات نفت و گاز و مناطق مسکونی برشمروند.

کاو و همکاران (۲۰۱۶)، در مقاله‌ای، نقشه پهنه‌بندی سیل را با استفاده از مدل نسبت فراوانی و روش‌های آماری در مناطق سیل‌زده معادن زغال سنگ واقع در شرق ناحیه فانگشان در جنوب غربی پکن تهیه کردند. نتایج حاصل از پژوهش آن‌ها نشان می‌دهد که معیارهای مدل FR، به عنوان یک روش طبقه‌بندی طبیعی، برای منطقه مطالعاتی مناسب‌تر است. رحمتی و همکاران (۲۰۱۵)، در پژوهشی، نقشه حساسیت‌پذیری سیلاب را در استان گلستان با استفاده از مدل‌های FR و WOFE تهیه کردند.

دارابی و همکاران (۱۳۹۵)، در مقاله‌ای، با استفاده از روش نسبت فراوانی، از پارامترهای طبقات ارتفاعی، درصد شیب، انحنای زمین، شاخص رطوبت توپوگرافی، توان آبراهه، میانگین بارندگی، فاصله از رودخانه، سنگ‌شناسی، نوع خاک، و کاربری اراضی استفاده کردند و نقشه‌های احتمال و حساسیت سیل در حوضه آبخیز پل دوآب شازند را تهیه کردند.

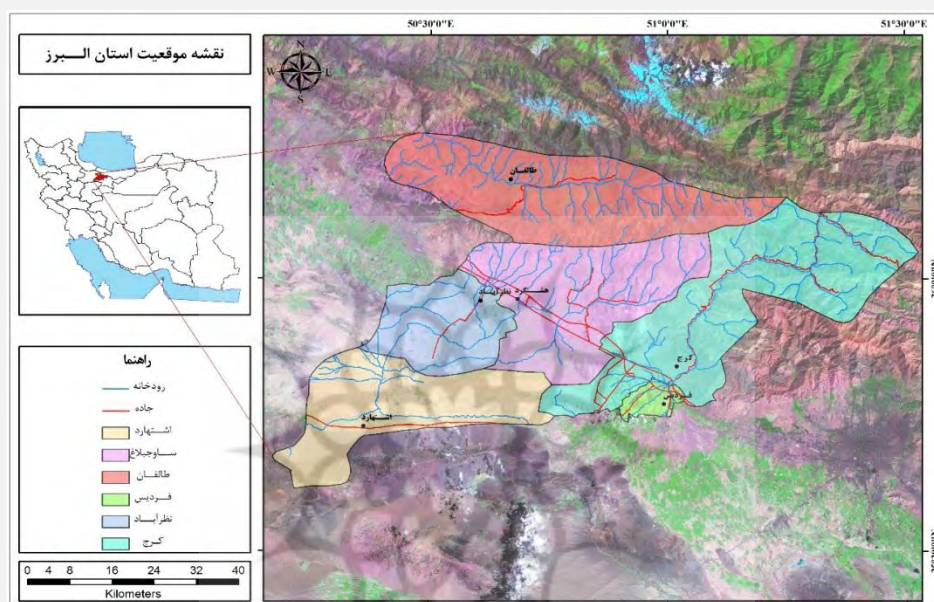
خسروی و همکاران (۲۰۱۶)، در مقاله خود، با استفاده از چهار مدل نسبت فراوانی (FR)، وزن از شواهد (WOFE)، فرایند تحلیل سلسله‌مراتبی (AHP)، و مجموعه‌ای از نسبت فراوانی با AHP و مقایسه آن‌ها نقشه‌های حساسیت سیل در حوضه هراز در استان مازندران را تهیه کردند. نتایج بررسی آن‌ها نشان داد که مدل نسبت فراوانی بالاترین سطح زیر منحنی را در مقایسه با سایر مدل‌ها دارد و دقت مناسبی در حساسیت سیل مناطق نشان می‌دهد. لی و همکاران (۲۰۱۶)، با استفاده از روش نسبت فراوانی اصلاح شده، حساسیت به زمین‌لغزش را در حوضه آنینگ در سیچوان و حوضه کایان در فوجیان (مناطق کوهستانی جنوب غربی و سواحل جنوب شرقی مناطق کوهستانی چین) ارزیابی کردند و به این نتیجه رسیدند که روش نسبت فراوانی اصلاح شده برای ارزیابی حساسیت به لغزش روشن مفید است.

جیمنتز-پالوارز و همکاران (۲۰۱۷)، در پژوهشی، به پهنه‌بندی خطر زمین‌لغزش از طریق ارزیابی چند تکنیک در بتیک کردیلا (جنوب اسپانیا) پرداختند. نتایج حاصل از مطالعات آن‌ها نشان می‌دهد که از هر عدرصد لغزشی که در منطقه به صورت سالانه رخ می‌دهد ۵۰ درصد آن دارای خطر متوسط تا بسیار زیاد است. در خصوص پیشینه مطالعات لغزش و مدل VIKOR نیز پژوهش‌هایی در سایر کشورها انجام گرفته است که از آن جمله می‌توان به پلیکانی و همکاران (۲۰۱۴) و مالکیان و آذرنیوند (۲۰۱۶) اشاره کرد. بیشتر مطالعات فوق بر یک نوع مخاطره تمرکز داشته‌اند و مطالعه‌ای که در آن دید جامع و تلفیقی به مخاطرات باشد کمتر دیده شده است. علاوه‌بر این، تعداد شاخص‌های مورداستفاده نیز در مطالعات قبلی محدود بوده و سعی شده در این پژوهش با درنظرداشتن جمیع دیدگاه‌ها کامل‌ترین عوامل دخیل در وقوع این مخاطرات شناسایی شود و مهمنترین کاستی در مطالعات قبلی عدم لحاظ و مقایسه وضع موجود مخاطرات (نقاطی که لغزش و سیل در منطقه مطالعاتی رخ داده است) با نتایج نهایی است که سعی شده به این موضوع در این پژوهش توجه شود. بنابراین، نیاز به مطالعه مخاطرات ژئومورفیک (سیلاب و زمین‌لغزش) در استان به دلیل اهمیت اقتصادی آن در بعد منطقه‌ای و ملی و تراکم جمعیت میلیونی آن ضروری است تا در برنامه‌ریزی‌ها و سیاست‌گذاری‌های استان البرز مورد توجه و عمل قرار بگیرد.

براین اساس، هدف از مقاله حاضر، پهنه‌بندی مخاطرات ژئومورفولوژیکی (سیل و لغزش) استان البرز و تبیین میزان خطرپذیری بخش‌های مختلف استان در برابر این دو مخاطره ژئومورفولوژیکی است تا، با ارائه نگاهی یک‌پارچه، وضعیت استان از نظر رخداد سیل و لغزش بررسی شود.

منطقه مورد مطالعه

البرز کوچک‌ترین استان ایران است که، با مساحت ۵۱۴۲ کیلومتر مربع، کمتر از نیم درصد (حدود ۳۱٪ درصد) از وسعت کشور را به خود اختصاص داده است. این استان، از نظر موقعیت جغرافیایی، بین مدارهای ۳۵° تا ۳۶° عرض شمالی و ۵۰° تا ۵۱° طول شرقی و با ارتفاع ۱۰۰۰ تا ۲۵۰۰ متر از سطح دریا در دامنه‌های جنوبی البرز مرکزی و در مجاورت تهران واقع شده است (شکل ۱). استان البرز دارای ۶ شهرستان، ۱۶ شهر، ۲۵ دهستان، و ۴۲۵ روستا است. شهرستان‌های استان البرز عبارت‌اند از: کرج، ساوجبلاغ، نظرآباد، طالقان، اشتهراد، و فردیس. جمعیت استان البرز در سال ۱۳۹۵ برابر با ۲۷۱۴۰۰ نفر هست. تراکم جمعیت در سال ۱۳۹۵ برابر با ۵۰ نفر در هر کیلومتر مربع است.



شکل ۱. نقشه موقعیت جغرافیایی استان البرز

مواد و روش‌ها

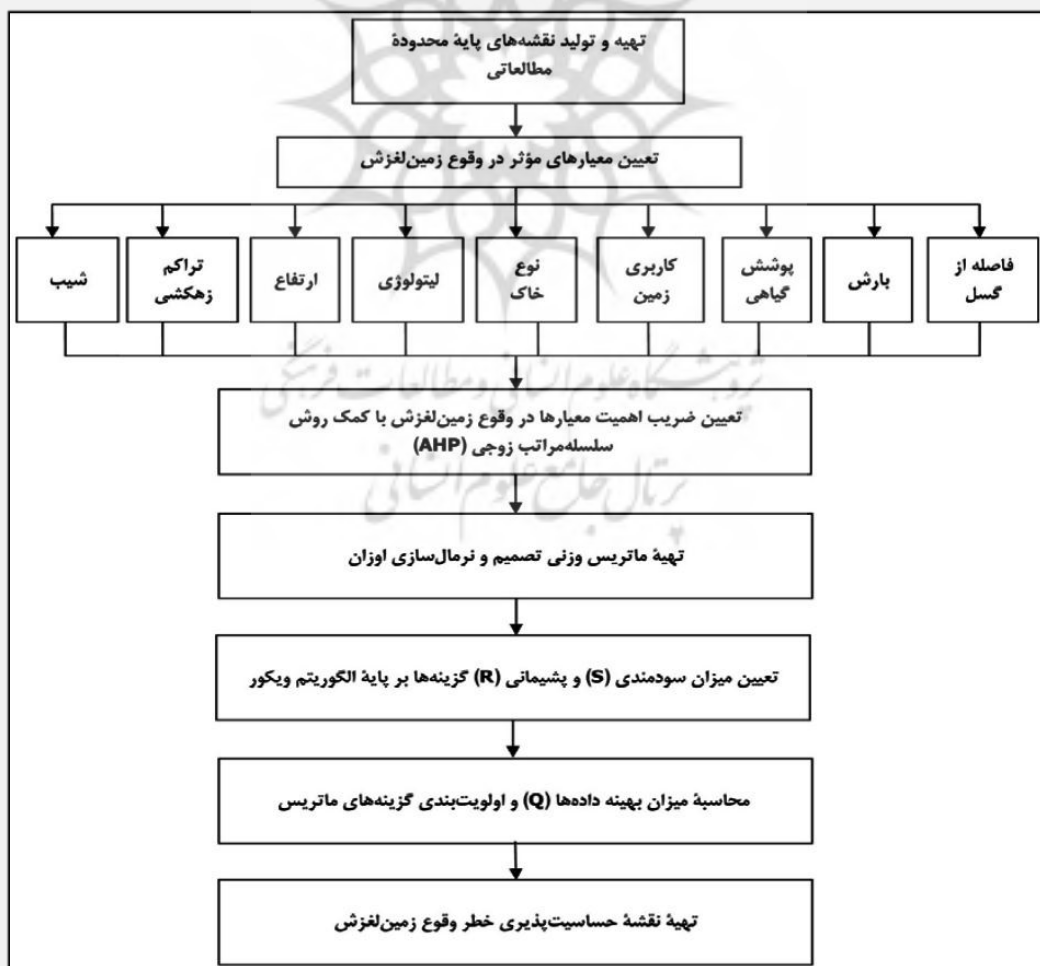
این پژوهش، از نظر روش تحقیق، ترکیبی از روش‌های توصیفی و تحلیلی است، از نظر هدف، از نوع تحقیقات کاربردی بهشمار می‌رود. برای جمع‌آوری داده‌ها در این پژوهش، از روش‌های اسنادی و میدانی استفاده شده است که به تبیین وضعیت مخاطرات لغزش و سیل در استان البرز می‌پردازد. در این تحقیق، برای پهنه‌بندی مخاطرات سیلاب و زمین‌لغزش، با توجه به مدل‌های به کار رفته، شاخص‌های مربوط به هر مدل استخراج شد تا برای تهیه نقشه خطر این مخاطرات به شرح زیر استفاده شود: برای پهنه‌بندی خطر زمین‌لغزش استان البرز، از یکی از روش‌های غیررتبه‌ای با عنوان روش بهینه‌سازی توافقی ویکور (VIKOR)، که بر پایه محاسبه حداکثر سودمندی و حداقل ضرر است، استفاده شد و نقشه حساسیت‌پذیری زیرخوشه‌های استان البرز نسبت به وقوع پدیده زمین‌لغزش تهیه شد. برای بررسی میزان خطر سیل استان البرز نیز از مدل نسبت فراوانی (FR) استفاده شد. شکل‌های ۲ و ۳ مراحل روش کار را برای رسیدن به نقشه حساسیت‌پذیری زمین‌لغزش و سیل نشان می‌دهد. برای اجرای این دو مدل نیاز است که مهم‌ترین شاخص‌های تأثیرگذار در رخداد این مخاطره‌ها استخراج شود. بدین منظور، با یک بررسی و مطالعه عمیق بر روی پژوهش‌های گذشته، که در این حوضه انجام گرفته و همچنین ویژگی‌های

1. Visekriterijumska Optimizacija I Kompromisno Resenje (in Serbian) = Multi criteria optimization and compromise solution (in English)

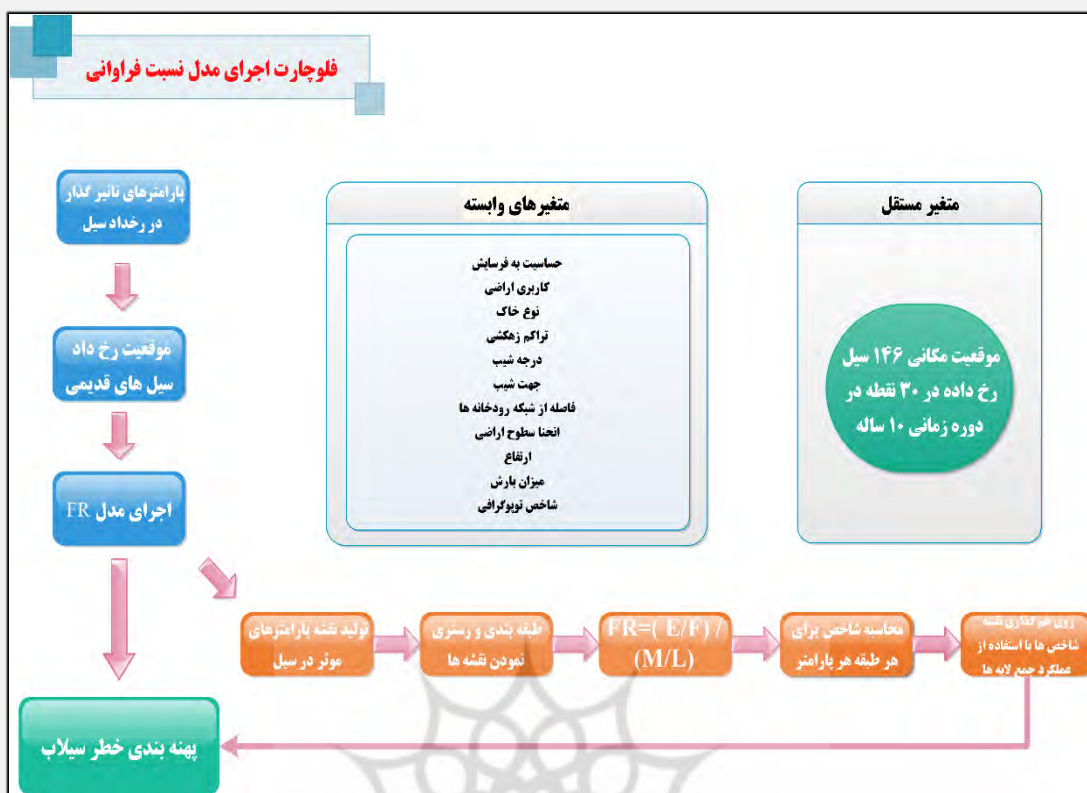
منطقه موردمطالعه، برای پهنه‌بندی زمین‌لغزش با استفاده از مدل ویکور، نه شاخص- شامل شب، تراکم زهکشی، ارتفاع، لیتوژوئی، نوع خاک، کاربری زمین، پوشش گیاهی، بارش، و فاصله از گسل- استفاده شد. برای پهنه‌بندی سیل با استفاده از مدل نسبت فراوانی هم یازده شاخص حساسیت به فرسایش، کاربری زمین، نوع خاک، تراکم زهکشی، درجه شب، جهت شب، فاصله از رودخانه، انحنای سطوح اراضی، ارتفاع، میزان بارش، و شاخص توبوگرافی به کار گرفته شد. جدول ۱ پیشینه‌ای از مطالعات گذشته و انواع شاخص‌های به کاررفته برای پهنه‌بندی زمین‌لغزش و سیل را نشان می‌دهد.

جدول ۱. شاخص‌های مورداستفاده برای پهنه‌بندی مخاطرات سیل و لغزش در مطالعات گذشته

| مخاطره | محقق- سال نشر اثر |
|--|---------------------------------|
| شاخص‌های مورداستفاده برای پهنه‌بندی خطر | کوزیر- ۲۰۱۷ |
| شب، بارش، جنس زمین، و پوشش گیاهی | لئوناردی و همکاران- ۲۰۱۶ |
| شب، سنگ‌شناسی، ارتفاع، بارندگی، و کاربری اراضی | زمین‌لغزش کومار و همکاران- ۲۰۱۵ |
| سنگ‌شناسی، خاک‌شناسی، کاربری اراضی، زهکشی، شب، رطوبت توبوگرافی، و ارتفاع | رامش و همکاران- ۲۰۱۴ |
| جهت شب، انحنای شب، لیتوژوئی، و فاصله از رودخانه | |
| ارتفاع، شب، انحرافی زمین، کاربری اراضی، زمین‌شناسی، بافت خاک، قدرت جریان، رطوبت توبوگرافی، و بارش | کالاو و همکاران- ۲۰۱۶ |
| زاویه شب، ارتفاع، فاصله از رودخانه، رطوبت توبوگرافی، قدرت جریان، بارش، لیتوژوئی، پوشش گیاهی، و نقشه انحنای سنج‌شناسی، کاربری اراضی، فاصله از رودخانه، خاک، زاویه شب، انحرافی زمین، شاخص رطوبت توبوگرافی، ارتفاع، و تراکم زهکشی | خسروی و همکاران- ۲۰۱۶ |
| رحمتی و همکاران- ۲۰۱۵ | |
| شب، کاربری اراضی، زمین‌شناسی، نخ فرسایش، بافت خاک، بارش سالانه، تراکم زهکشی، و پوشش گیاهی | آریان‌پور و جمالی- ۲۰۱۵ |



شکل ۲. فلوچارت روش مطالعاتی انجام گرفته برای رسیدن به نقشه حساسیت‌پذیری زمین‌لغزش با استفاده از مدل VIKOR

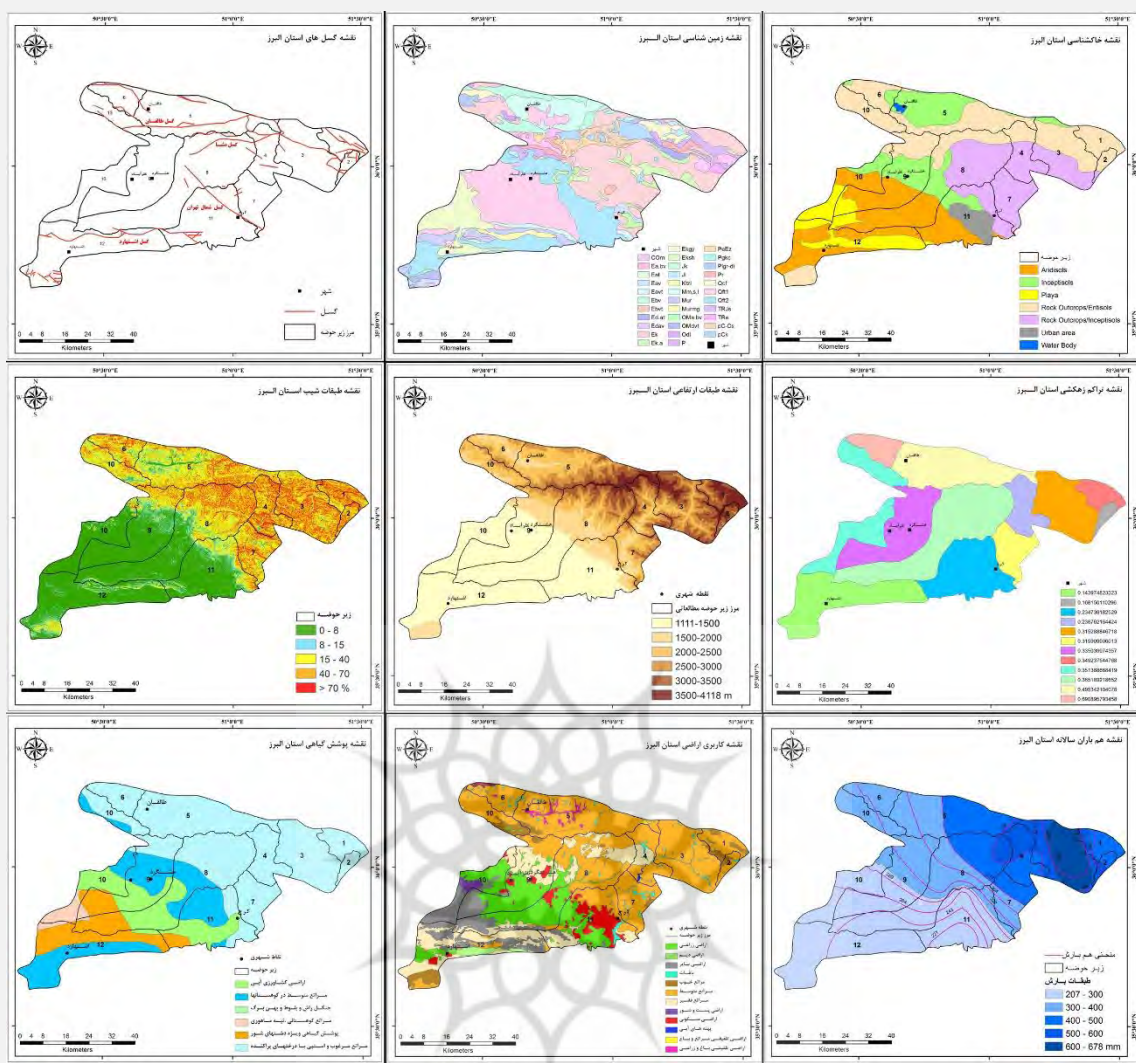


شکل ۳. فلوچارت روش مطالعاتی انجام‌گرفته برای رسیدن به نقشه حساسیت‌پذیری سیل با استفاده از مدل **FR**

به منظور بررسی مخاطرات لغزش و سیل در سطح استان البرز و برای تولید نقشه تلفیقی، دو لایه نهایی، که شامل پهنه‌بندی خطر زمین‌لغزش و پهنه‌بندی سیل استان البرز است، با استفاده از مدل فازی گاما روی هم قرار گرفت و نقشه پهنه‌بندی ریسک استان البرز در این دو مخاطره ترسیم و نقشه‌پهنه‌بندی سیل و لغزش استان البرز در پنج کلاس طبقه‌بندی و درصد مساحت هر شهرستان نسبت به مخاطرات فوق تعیین شد. در نهایت، با توجه به وضعیت سکونتگاه‌های انسانی و تعداد نقاط شهری و روستایی هر شهرستان، آسیب‌پذیرترین شهرها از نظر مخاطرات مشخص شد.

یافته‌های پژوهش

برای پهنه‌بندی خطر ناشی از زمین‌لغزش در استان البرز، ابتدا نه معیار اصلی در ارتباط با استعداد حوضه به زمین‌لغزش در زیرحوضه‌های مطالعاتی درنظر گرفته شد. پس از انتخاب معیارهای اصلی، در مرحله بعد، نقشه‌های مربوط به هر یک از معیارهای انتخابی وزن دهنده و ارزیابی زیرحوضه‌ها در محیط GIS تهیه و ترسیم شد (شکل ۴). با توجه به اثر نه معیار فوق در موقع زمین‌لغزش (فاصله از گسل، بارش، پوشش گیاهی، کاربری زمین، نوع خاک، لیتلوزی، ارتفاع، تراکم زهکشی، و شیب)، معیارهای میزان پوشش گیاهی و فاصله از گسل دارای اثر کاهشی‌اند و هفت معیار دیگر اثر افزایشی دارند. پس از تهیه نقشه معیارهای انتخابی، ضریب اهمیت معیارهای یادشده از نقطه‌نظر درجه اهمیت در موقع زمین‌لغزش و حساسیت‌پذیری حوضه‌ها به این پدیده به کمک الگوریتم سلسه‌مراتبی AHP و از طریق توزیع پرسشنامه بین افراد متخصص و کارشناس تعیین شد.



شکل ۴. پارامترهای مؤثر در خطر وقوع زمین‌لغزش در استان البرز با استفاده از مدل ویکور

در این پژوهش، وزن دهنده‌ها از طریق تکمیل پرسشنامه کارشناسی و براساس نقش هر معیار در وقوع مخاطره مدنظر بوده است و از بازه وزن دهنده‌ی یک تا ده استفاده شد؛ به گونه‌ای که وزن ۱ کمترین تأثیر و ۱۰ بالاترین تأثیر را در خطر زمین‌لغزش نشان می‌دهد. پس از تعیین ضریب اهمیت معیارها، ماتریس تصمیم اوزان برای اجرای الگوریتم ویکور تهیه شد. همان‌طور که مشخص است، نه معیار در ارزیابی حوضه‌های آبریز نقش دارند. ماتریس تصمیم‌گیری براساس پارامترهای مؤثر در زیرحوضه‌ها تشکیل و سپس اعداد ماتریس نرم‌مال‌سازی شد. پس از نرم‌مال‌سازی و تهیه ماتریس نرم‌مال وزنی، برای به‌دست‌آوردن مقادیر سودمندی و پشیمانی (ضرر) براساس الگوریتم بهینه‌سازی ویکور، مراحل زیر روی ماتریس وزنی نرم‌مال انجام گرفت.

وزن دار کردن ماتریس نرم‌مال

برای وزن دار کردن مقادیر ماتریس نرم‌مال هر یک از گزینه‌ها بر وزن معیار (ضریب AHP) ضرب می‌شود (جدول ۲).

جدول ۲. وزن دار کردن مقادیر نرمال شده اوزان گزینه‌ها براساس معیارهای مؤثر در وقوع زمین‌لغزش

| معیار | فاصله از گسل | شیب | ارتفاعی | طبقات | تراکم | زهکشی | کاربری اراضی | پوشش گیاهی | بارش | نوع خاک | لیتوЛОژی |
|----------|-----------------|--------|---------|---------|--------|--------|-----------------|---------------|--------|---------|----------|
| ضریب AHP | ۰,۰۲۵ | ۰,۳۱۰ | ۰,۱۶۳ | ۰,۰۳۲ | ۰,۰۰۵ | ۰,۰۰۹۰ | ۰,۰۱۳ | ۰,۰۰۸۶ | ۰,۰۷۳ | ۰,۰۰۷۳ | ۰,۰۶۹ |
| شماره ۱ | ۰,۰۱۰۶ | ۰,۱۲۳ | ۰,۰۶۷ | ۰,۰۰۸۶ | ۰,۰۰۴۰ | ۰,۰۰۴۰ | ۰,۰۱۰ | ۰,۰۰۹۰ | ۰,۰۱۷۴ | ۰,۰۰۷۳ | ۰,۰۰۶۹ |
| شماره ۲ | ۰,۰۰۹۵ | ۰,۱۲۵ | ۰,۰۶۵ | ۰,۰۰۶۵ | ۰,۰۰۴۰ | ۰,۰۰۴۰ | ۰,۰۱۰ | ۰,۰۰۹۰ | ۰,۰۱۹۳ | ۰,۰۰۶۱ | ۰,۰۰۵۵ |
| شماره ۳ | ۰,۰۰۷۴ | ۰,۱۲۳ | ۰,۰۵۶ | ۰,۰۰۵۶ | ۰,۰۰۷۹ | ۰,۰۰۷۹ | ۰,۰۱۳ | ۰,۰۰۹۰ | ۰,۰۲۳۲ | ۰,۰۰۸۶ | ۰,۰۰۸۳ |
| شماره ۴ | ۰,۰۰۸۵ | ۰,۱۲۸ | ۰,۰۵۴ | ۰,۰۰۶۱ | ۰,۰۰۶۱ | ۰,۰۰۶۱ | ۰,۰۱۳ | ۰,۰۰۹۰ | ۰,۰۱۹۳ | ۰,۰۰۷۳ | ۰,۰۰۸۳ |
| شماره ۵ | ۰,۰۰۸۵ | ۰,۱۰۸۴ | ۰,۰۵۱ | ۰,۰۰۱۲۷ | ۰,۰۱۸ | ۰,۰۱۸ | ۰,۰۲۱۱ | ۰,۰۱۷۴ | ۰,۰۱۱۰ | ۰,۰۱۱۱ | ۰,۰۱۱۱ |
| شماره ۶ | ۰,۰۰۶۳ | ۰,۰۹۶ | ۰,۰۴۲ | ۰,۰۰۴۲ | ۰,۰۱۷۹ | ۰,۰۱۷۹ | ۰,۰۱۸ | ۰,۰۱۳۵ | ۰,۰۰۹۸ | ۰,۰۰۹۸ | ۰,۰۱۱۱ |
| شماره ۷ | ۰,۰۰۴۲ | ۰,۱۰۳ | ۰,۰۴۴ | ۰,۰۰۷۹ | ۰,۰۰۷۹ | ۰,۰۰۷۹ | ۰,۰۱۳ | ۰,۰۰۹۰ | ۰,۰۱۵۴ | ۰,۰۰۶۱ | ۰,۰۰۸۳ |
| شماره ۸ | ۰,۰۰۵۳ | ۰,۰۵۷ | ۰,۰۳۸ | ۰,۰۰۳۸ | ۰,۰۱۰ | ۰,۰۰۹۲ | ۰,۰۱۸۱ | ۰,۰۱۱۶ | ۰,۰۰۴۹ | ۰,۰۱۱۶ | ۰,۰۰۶۹ |
| شماره ۹ | ۰,۰۰۱۰ | ۰,۰۲۶ | ۰,۰۳۰ | ۰,۰۰۳۰ | ۰,۰۱۳ | ۰,۰۰۸۴ | ۰,۰۲۱۱ | ۰,۰۰۹۶ | ۰,۰۰۶۱ | ۰,۰۰۵۵ | ۰,۰۰۵۵ |
| شماره ۱۰ | ۰,۰۰۳۱ | ۰,۰۳۶ | ۰,۰۳۲ | ۰,۰۰۳۲ | ۰,۰۱۵ | ۰,۰۰۸۹ | ۰,۰۲۱۱ | ۰,۰۱۱۶ | ۰,۰۰۷۳ | ۰,۰۰۹۷ | ۰,۰۰۷۳ |
| شماره ۱۱ | ۰,۰۰۵۳ | ۰,۰۲۶ | ۰,۰۲۹ | ۰,۰۰۲۹ | ۰,۰۱۵ | ۰,۰۰۵۸ | ۰,۰۰۵۸ | ۰,۰۱۵۱ | ۰,۰۱۱۶ | ۰,۰۰۷۳ | ۰,۰۰۸۳ |
| شماره ۱۲ | ۰,۰۰۹۵ | ۰,۰۱۴ | ۰,۰۲۶ | ۰,۰۰۲۶ | ۰,۰۱۳ | ۰,۰۰۳۵ | ۰,۰۲۴۲ | ۰,۰۰۹۶ | ۰,۰۰۴۹ | ۰,۰۰۴۱ | ۰,۰۰۴۱ |

تعیین مقادیر بالاترین و پایین‌ترین ارزش ماتریس نرمال وزنی

بزرگ‌ترین و کوچک‌ترین عدد هر ستون تعیین می‌شود. در اینجا منظور از بزرگ‌ترین عدد یعنی عددی که بیشترین ارزش مثبت را دارد و کوچک‌ترین یعنی بیشترین ارزش منفی. پس اگر معیار ما از نوع منفی باشد، بزرگ‌ترین عدد بر عکس می‌شود؛ یعنی می‌شود کمترین مقدار و کوچک‌ترین می‌شود بیشترین مقدار و بالعکس.

محاسبهٔ مقدار سودمندی و تأسیف معیارها

در این مرحله، با توجه به مقادیر مثبت و منفی محاسبه شده در مرحلهٔ قبل، فاصلهٔ هر گزینه از راه حل ایده‌آل و سپس حاصل جمع آن‌ها برای ارزش نهایی براساس رابطهٔ ۱ محاسبه شد. به بیانی، در این مرحله سودمندی و پشیمانی (ضرر) حاصل از انتخاب یک گزینه بهمنزلهٔ رتبهٔ برتر محاسبه می‌شود. مقادیر حداقل برای هر دو مقدار معرف کمترین فاصله از راه حل ایده‌آل (گزینهٔ برتر) است که کمترین پشیمانی (ضرر) و بیشترین سودمندی را همراه دارد (سپهر و همکاران، ۱۳۹۲).

$$S_j = \sum_{i=1}^n w_i \cdot \frac{f_i^* - f_{ij}}{f_i^* - f_i^-}; \quad R_j = \max_i \left[w_i \cdot \frac{f_i^* - f_{ij}}{f_i^* - f_i^-} \right] \quad (1)$$

f_i^* = بزرگ‌ترین عدد ماتریس نرمال وزنی برای هر ستون

f_{ij} = عدد گزینهٔ موردنظر برای هر معیار در ماتریس نرمال وزنی

\tilde{f}_i = کوچک‌ترین عدد ماتریس نرمال وزنی برای هر ستون

W = ضریب AHP

طبعیتاً برای گزینه به ازای هر معیار یک شاخص مطلوبیت به دست می‌آید که مجموع آن‌ها شاخص نهایی S_j گزینه را مشخص می‌کند. بزرگ‌ترین S_j هر گزینه به ازای هر معیار شاخص نارضایتی (R_j) آن گزینه است. برترین و بدترین رتبه براساس ارزش S_j و R_j به دست می‌آید (جدول ۳).

محاسبه شاخص ویکو، (Q) و تیهندی نهایی، گزینه‌ها

درنهایت، پس از محاسبه مقادیر سودمندی و پشیمانی (ضرر)، شاخص ویکور (Q) برای هر گزینه (زیرحوضه مطالعاتی) به صورت مجزا و براساس رابطه ۲ محاسبه شد که جدول ۳ مقادیر آن را نشان می‌دهد (سپهر و همکاران، ۱۳۹۲).

$$Q_j = \nu \cdot \frac{S_j - S^-}{S^* - S^-} + (1 - \nu) \cdot \frac{R_j - R^-}{R^* - R^-} \quad (2)$$

٥ = عدد ثابت

Sj = مجموع مقدار S برای هر گزینه

S^+ = بزرگ‌ترین عدد شاخص S برای هر گزینه

S^* = کوچکترین عدد شاخص S برای هر گزینه

R_j = مقدار R برای هر گزینه

R^+ = بزرگترین عدد شاخص R برای هر گزینه

R^* = کوچکترین عدد شاخص R برای هر گزینه

جدول ٣. شاخص مطلوبیت (Sj) و شاخص نارضایتی (Rj)

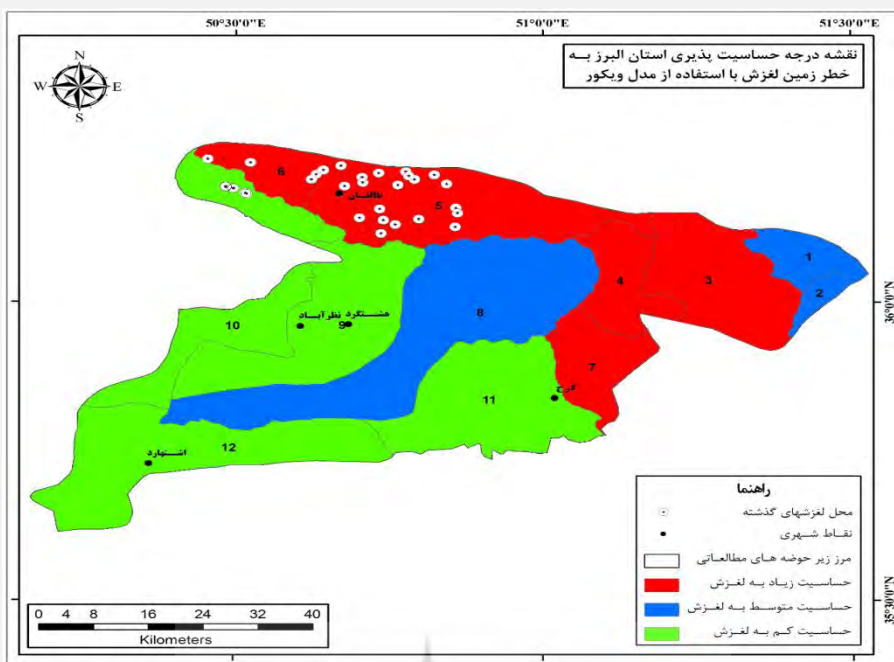
| Q | Rj | Sj | لیتوژوئی | نوع ذارک | بارچ | پوشش گلایه | کاربری از ارضی | تراکم زهشتی | طبقات ارتفاعی | طبقات عمیق | فاحله از گام | معیار | زیر حوضه |
|-------|-------|-------|----------|-------------|-------|---------------|-------------------|----------------|------------------|---------------|-----------------|---------|----------|
| | | | | | | | | | | | | شماره ۱ | |
| ۰/۲۴۳ | ۰/۱۷۰ | ۰/۳۳۲ | ۰/۱۷۰ | ۰/۰۱۵ | ۰/۰۲۳ | ۰/۰۵۶ | ۰/۰۳۳ | ۰/۰۲۰ | ۰ | ۰/۰۱۳ | ۰ | ۰/۰۰۲ | شماره ۱ |
| ۰/۴۴۱ | ۰/۲۲۷ | ۰/۴۱۷ | ۰/۲۲۷ | ۰/۰۲۰ | ۰/۰۱۵ | ۰/۰۵۶ | ۰/۰۵۰ | ۰/۰۳۰ | ۰/۰۰۸ | ۰/۰۰۶ | ۰/۰۰۲ | ۰/۰۰۲ | شماره ۲ |
| ۰/۰۸۳ | ۰/۱۱۳ | ۰/۲۹۸ | ۰/۱۱۳ | ۰/۰۱۰ | ۰ | ۰/۰۵۶ | ۰/۰۳۳ | ۰/۰۲۲ | ۰/۰۴۱ | ۰/۰۱۳ | ۰/۰۰۸ | ۰/۰۰۸ | شماره ۳ |
| ۰/۰۹۶ | ۰/۱۱۳ | ۰/۳۱۵ | ۰/۱۱۳ | ۰/۰۱۵ | ۰/۰۱۵ | ۰/۰۵۶ | ۰/۰۳۳ | ۰/۰۲۶ | ۰/۰۴۹ | ۰ | ۰/۰۰۵ | ۰/۰۰۵ | شماره ۴ |
| ۰/۰۴۷ | ۰/۱۱۸ | ۰/۲۲۳ | ۰ | ۰ | ۰/۰۲۳ | ۰/۰۱۱ | ۰ | ۰/۰۱۱ | ۰/۰۶۳ | ۰/۱۱۸ | ۰/۰۰۵ | ۰/۰۰۵ | شماره ۵ |
| ۰/۰۲۸ | ۰/۰۹۸ | ۰/۲۷۲ | ۰ | ۰ | ۰/۰۳۸ | ۰/۰۳۳ | ۰ | ۰ | ۰/۰۹۸ | ۰/۱۸۵ | ۰/۰۱۱ | ۰/۰۱۱ | شماره ۶ |
| ۰/۱۹۵ | ۰/۱۱۳ | ۰/۴۴۸ | ۰/۱۱۳ | ۰/۱۱۳ | ۰/۰۳۰ | ۰/۰۵۶ | ۰/۰۳۳ | ۰/۰۲۲ | ۰/۰۸۹ | ۰/۰۶۵ | ۰/۰۱۶ | ۰/۰۱۶ | شماره ۷ |
| ۰/۵۳۰ | ۰/۱۹۱ | ۰/۶۵۱ | ۰/۱۷۰ | ۰/۱۷۰ | ۰/۰۴۶ | ۰/۰۲۲ | ۰/۰۵۰ | ۰/۰۱۹ | ۰/۱۱۲ | ۰/۱۹۱ | ۰/۰۱۳ | ۰/۰۱۳ | شماره ۸ |
| ۰/۸۵۴ | ۰/۲۷۷ | ۰/۸۱۴ | ۰/۲۲۷ | ۰/۲۲۷ | ۰/۰۵۴ | ۰/۰۱۱ | ۰/۰۳۳ | ۰/۰۲۱ | ۰/۱۴۴ | ۰/۲۷۷ | ۰/۰۲۵ | ۰/۰۲۵ | شماره ۹ |
| ۰/۶۱۴ | ۰/۲۵۰ | ۰/۵۷۵ | ۰/۰۵۶ | ۰/۰۵۶ | ۰/۰۴۶ | ۰/۰۱۱ | ۰/۰۱۶ | ۰/۰۲۰ | ۰/۱۳۸ | ۰/۲۵۰ | ۰/۰۱۹ | ۰/۰۱۹ | شماره ۱۰ |
| ۰/۷۶۲ | ۰/۲۷۷ | ۰/۶۹۱ | ۰/۱۱۳ | ۰/۱۱۳ | ۰/۰۴۶ | ۰/۰۳۳ | ۰/۰۱۶ | ۰/۰۲۶ | ۰/۱۴۷ | ۰/۲۷۷ | ۰/۰۱۳ | ۰/۰۱۳ | شماره ۱۱ |
| ۱ | ۰/۳۱۰ | ۰/۹۰۵ | ۰/۲۸۴ | ۰/۲۸۴ | ۰/۰۵۴ | ۰ | ۰/۰۳۳ | ۰/۰۳۲ | ۰/۱۶۳ | ۰/۳۱۰ | ۰/۰۲۷ | ۰/۰۲۷ | شماره ۱۲ |

رتبه‌بندی گزینه‌ها براساس مقادیر Q

پس از تعیین رتبه Q و دسته‌بندی مقادیر R و S برای تهیه نقشه حساسیت‌پذیری زیرحوضه‌های مطالعاتی به زمین‌لغزش بر پایه مقادیر شاخص بهینه‌سازی ویکور (Q)، مناطق در سه کلاس کیفی حساسیت‌پذیری کم، متوسط، و حساسیت‌پذیری زیاد طبقه‌بندی شدند (جدول ۴). درنهایت، براساس طبقات حساسیت و مقادیر کمی Q، نقشه حساسیت‌پذیری منطقه مطالعاتی به زمین‌لغزش در محیط GIS تهیه شد (شکل ۵).

جدول ۴. کلاس‌بندی کمی و کیفی درجه حساسیت پذیری زمین‌لغزش

| مقدار کمی ویکور (Q) | کلاس (طبقه) | درجه حساسیت پذیری |
|---------------------|-------------|-------------------|
| > ۰,۶ | I | کم |
| ۰,۲ - ۰,۶ | II | متوسط |
| < ۰,۲ | III | زیاد |



شکل ۵. حساسیت‌پذیری خطر وقوع زمین‌لغزش در استان البرز

نتایج بررسی لغزش استان البرز با استفاده از مدل ویکور نشان می‌دهد که از بین نه عامل مؤثر در حساسیت‌پذیری حوضه به لغزش، هفت معیار (شیب، طبقات ارتفاعی، تراکم زهکشی، کاربری اراضی، بارش، نوع خاک، و لیتوژئی) دارای اثر فزاینده و دو معیار (فاصله از گسل و پوشش گیاهی) دارای اثر کاهنده در آسیب‌پذیری حوضه به زمین‌لغزش‌اند. پس از محاسبه مجموع اوزان معیارها با اثر افزایشی برای هر زیرحوضه مطالعاتی، مشخص شد که زیرحوضه‌های شماره ۶، ۵، ۳، و ۴ بیشترین مقدار و زیرحوضه‌های ۱۲، ۹، و ۱۱ دارای کمترین مقدار شاخص ویکور هستند. به گفته‌ای، زیرحوضه‌های شماره ۶، ۵، ۳، و ۴ از بیشترین حساسیت‌پذیری به وقوع زمین‌لغزش برخوردارند. حساسیت به وقوع زمین‌لغزش در زیرحوضه‌های ۱۲، ۹، و ۱۱ حداقل است. با تطبیق زیرحوضه‌های مطالعاتی با مرزهای سیاسی شهرستان به نتایجی به شرح جدول‌های ۵ و ۶ می‌رسیم.

جدول ۵. مساحت هر یک از پهنه‌های مخاطره لغزش استان البرز

| درصد مساحت | مساحت (km ²) | پتانسیل خطر |
|------------|--------------------------|-------------|
| ۴۴,۶۴ | ۲۲۹۵,۳۸ | کم |
| ۲۲,۳۷ | ۱۱۴۵,۱۴ | متوسط |
| ۳۳,۰۹ | ۱۷۰۱,۴۸ | زیاد |

جدول ۶. درصد مساحت پهنه‌های مختلف مخاطره لغزش به تفکیک شهرستان در استان البرز

| درصد مساحت پهنه‌های مختلف مخاطره لغزش استان البرز | نام شهرستان | |
|---|-------------|-------|
| زیاد | متوسط | کم |
| ۱۴,۱۷ | ۵۸,۷۳ | ۲۷,۱۰ |
| ۴۲,۰۴ | ۲۷,۴۶ | ۳۰,۵۰ |
| ۸,۱۱ | ۳۳,۹۲ | ۵۷,۹۷ |
| . | ۱۲,۷۱ | ۸۷,۲۹ |
| . | ۶,۹۷ | ۹۳,۰۳ |
| . | . | ۱۰۰ |

همان‌طور که جدول‌های ۵ و ۶ نشان می‌دهد، بیش از ۵۰ درصد از مساحت استان البرز در پهنهٔ متوسط و زیاد مخاطره لغزش قرار گرفته‌اند که این میزان در دو شهرستان طالقان و کرج به بیش از ۷۰ درصد می‌رسد که مقادیر فوق لزوم توجه و مدیریت بیشتر به این مناطق را نشان می‌دهد. در ادامه کار، برای مشخص کردن وضعیت آسیب‌پذیری استان البرز نسبت به مخاطره سیل، به پهنه‌بندی این مخاطره در استان البرز پرداخته خواهد شد.

پهنه‌بندی خطر سیل در استان البرز

با استفاده از تجزیه و تحلیل سوابق وقوع سیل در منطقه، می‌توان وضعیت وقوع سیل در آینده را برآورد کرد. بنابراین، نقشهٔ پراکندگی سیل‌های رخداده می‌تواند مهم‌ترین عامل پیش‌بینی سیل در آینده باشد. در این مطالعه، نقشهٔ ۱۴۶ مورد از سیل‌های قدیمی، که در سی نقطهٔ سیل خیز استان البرز رخ داده بود، با استفاده از اطلاعات منابع آب ایران و اداره کل آب منطقه‌ای استان البرز در یک دورهٔ ده‌ساله (۱۳۸۲–۱۳۹۲) استخراج شد. اطلاعات به دست‌آمده حاکی از آن بود که در این سی نقطهٔ سیل خیز در این دورهٔ آماری، ۱۴۶ مورد سیل رخ داده که منشاً بیشتر آن‌ها رودخانه‌ای و سرریز آب رودخانه‌ها به دشت‌ها بوده است.

برای تهییه نقشهٔ حساسیت منطقه به سیل، تعیین عوامل مؤثر در وقوع سیل ضروری است (بختیاری کیا و همکاران، ۲۰۱۲). بنابراین، از عوامل مهم و مؤثر در ایجاد سیل می‌توان به عوامل سنجشناستی، کاربری اراضی، فاصله از رودخانه، خاک‌شناسی، درجهٔ شبیب، جهت شبیب، نقشهٔ انحنای سطح، شاخص رطوبت توپوگرافی (TWI)، تراکم زهکشی، ارتفاع، و میزان بارش اشاره کرد که به عنوان شاخص‌های ارزیابی سیل در استان البرز با استفاده از مدل نسبت فراوانی درنظر گرفته شدند. همهٔ عوامل مؤثر به یک شبکه سلول‌های ۲۰ در ۲۰ متر برای استفاده در مدل‌های FR تبدیل شد. درنهایت، نقشهٔ نهایی حساسیت سیل به دست‌آمده توسط مدل FR در شکل ۶ ارائه شده است.

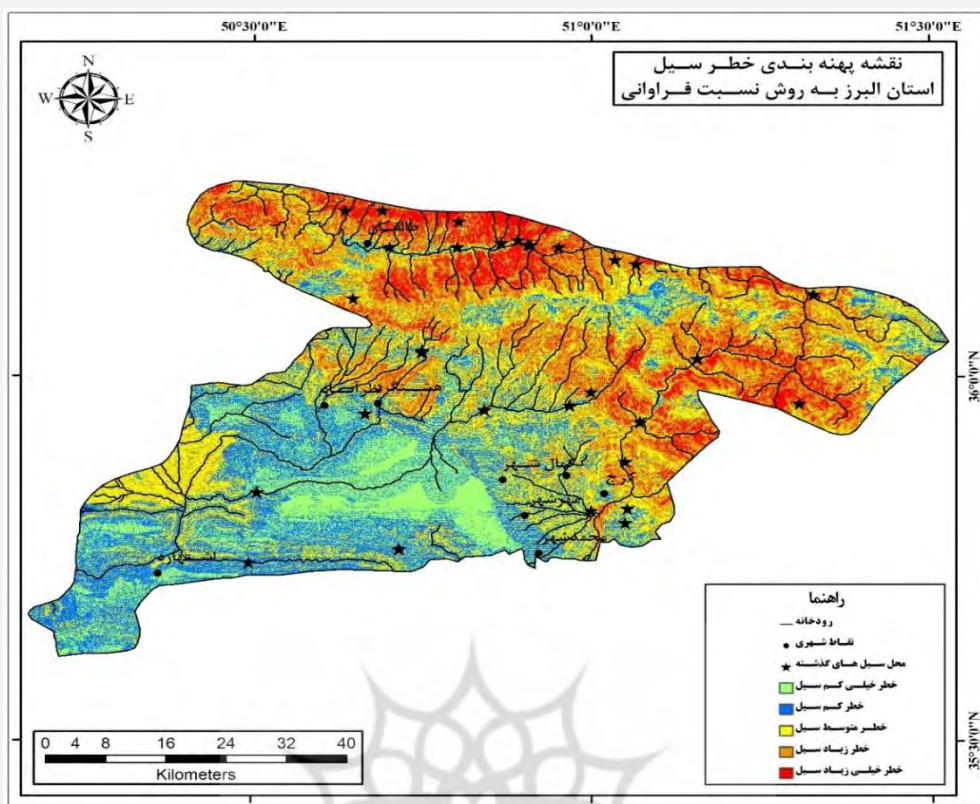
جدول ۷، به‌طور خلاصه، وضعیت همهٔ پارامترهای مؤثر در محاسبهٔ خطر سیل با مدل نسبت فراوانی و طبقات مختلف آن‌ها را نشان می‌دهد. همچنین، تعداد سیل‌های رخداده در گذشته نیز به تفکیک هر کلاس پارامتر نشان داده شده است.

جدول ۷. ارتباط فضایی بین هر عامل مؤثر در ایجاد سیل با استفاده از مدل FR

| پارامترها | تعداد پیکسل‌ها | درصد فراوانی | فرابانی نقاط وقوع سیل | شاخص درصد پیکسل‌ها | FR |
|-----------------------------------|----------------|--------------|-----------------------|--------------------|------|
| حساسیت به فرسایش سازنده‌های مقاوم | ۷ | ۲۳/۳۴ | ۸۸۹۰۶۸ | ۸/۴۸ | ۲/۷۴ |
| سازنده‌ای با مقاومت متوسط | ۱۳ | ۴۳/۳۳ | ۶۴۲۷۵۲۱ | ۶۱/۳۵ | ۰/۷۰ |
| سازنده‌ای حساس | ۱۰ | ۳۳/۳۳ | ۳۱۶۱۲۲۴ | ۳۰/۱۷ | ۱/۱۰ |
| کاربری اراضی | | | | | |
| مناطق مسکونی | ۱ | ۳/۳۳ | ۴۴۸۵۴۴ | ۴/۲۸ | ۱/۷۷ |
| اراضی زراعی | ۴ | ۱۳/۳۳ | ۱۸۶۴۱۲۲ | ۱۷/۸۰ | ۰/۷۴ |
| اراضی باغ و مشجر | ۲ | ۶/۶۶ | ۱۷۱۱۰۱ | ۱/۶۳ | ۱/۰۸ |
| اراضی بایر | ۳ | ۱۰/۰ | ۹۵۱۸۴۶ | ۹/۰۹ | ۱/۱۰ |
| پهنه‌های آبی | ۰ | ۰/۰۰ | ۹۰۶۳ | ۰/۰۸ | ۰/۰۰ |
| اراضی مرتعی | ۲۰ | ۶۶/۶۷ | ۷۰۲۵۵۵۹ | ۶۷/۱۰ | ۱/۹۹ |
| فاصله از رودخانه (m) | | | | | |
| < ۵۰۰ | ۶ | ۲۰/۰۰ | ۲۹۹۳۵۷۸ | ۲۸/۵۹ | ۱/۶۷ |
| ۵۰۰–۱۰۰۰ | ۹ | ۳۰/۰۰ | ۲۴۱۵۶۸۱ | ۲۳/۰۷ | ۱/۳۰ |
| ۱۰۰۰–۲۰۰۰ | ۸ | ۲۶/۶۷ | ۲۷۷۸۷۸۵ | ۲۶/۵۴ | ۱/۱۷ |
| ۲۰۰۰–۳۰۰۰ | ۶ | ۲۰/۰۰ | ۱۲۲۱۲۷۱ | ۱۱/۶۶ | ۱/۰۰ |
| > ۳۰۰۰ | ۱ | ۳/۳۴ | ۱۰۶۰۹۴۳ | ۱۰/۱۴ | ۰/۳۳ |

ادامه جدول ۷. ارتباط فضایی بین هر عامل مؤثر در ایجاد سیل با استفاده از مدل FR

| پارامترها | فرآوانی نقاط وقوع سیل | درصد فراوانی | تعداد پیکسل‌ها (۲۰*۲۰) | شاخص FR |
|-----------------------------|-----------------------|--------------|------------------------|---------|
| خاک‌شناسی | | | | |
| پالایا | ۶,۶۶ | ۸,۶۸۳۶ | ۸,۴۶ | ۰,۷۸ |
| انتی‌سول | ۳۰,۰۰ | ۳۰,۷۱۲۲۹ | ۲۹,۳۱ | ۱,۰۲ |
| اینسپیتی‌سول و بستر سنگی | ۳۰,۰۰ | ۲۲۲,۸۳۲۹ | ۲۱,۲۶ | ۱,۴۱ |
| مناطق مسکونی | ۷,۳۴ | ۳۱,۰۷۵ | ۲۹,۷ | ۱,۱۲ |
| پهنه‌آبی | ۰,۰۰ | ۲۵۰,۰۹ | ۰,۲۴ | ۰,۰۰ |
| اریدی‌سول | ۳,۳۴ | ۱۳۶,۹۴۱۶ | ۲۲,۶۲ | ۰,۱۴ |
| اینسپیتی‌سول | ۲۶,۶۷ | ۱۵۸,۶۳۳۸ | ۱۵,۱۴ | ۱,۷۶ |
| زاویه شب (درجه) | | | | |
| -۸ | ۲۶,۶۷ | ۵۲۷,۲۰۳۷ | ۵۰,۳۵ | ۰,۵۳ |
| ۸-۱۵ | ۲۰,۰۰ | ۱۳۳,۴۲۱۶ | ۱۲,۷۴ | ۱,۵۶ |
| ۱۵-۲۵ | ۱۳,۳۴ | ۱۶۸,۷۱۵۲ | ۱۶,۱۱ | ۱,۸۲ |
| ۲۵-۴۰ | ۱۶,۶۶ | ۱۵۶,۰۰۱۷ | ۱۴,۸۹ | ۱,۱۱ |
| > ۴۰ | ۲۳,۳۳ | ۶۱۶,۷۶۱ | ۵,۹۰ | ۰,۹۶ |
| جهت شب | | | | |
| فلت | ۰,۰۰ | ۸۴۸,۰۸ | ۰,۸۱ | ۰,۰۰ |
| شمال | ۳,۳۳ | ۸,۰۵۱۷ | ۷,۶۹ | ۰,۴۳ |
| شمال شرق | ۳,۳۳ | ۱۴۶,۳۷۳۱ | ۱۳,۹۸ | ۰,۲۳ |
| شرق | ۶,۶۷ | ۱۰,۵۳۰۰ | ۱۰,۰۶ | ۰,۶۶ |
| جنوب شرق | ۱۳,۳۳ | ۹۷۶,۸۶۸ | ۹,۳۳ | ۱,۴۲ |
| جنوب | ۲۳,۳۳ | ۱۴۳,۶۵۰۹ | ۱۱,۷۲ | ۱,۷۰ |
| جنوب غرب | ۲۰,۰۰ | ۱۷۲,۸۶۲۷ | ۱۶,۵۱ | ۱,۲۱ |
| غرب | ۱۳,۳۴ | ۱۳۱,۱۹۱۳ | ۱۲,۵۳ | ۱,۰۶ |
| شمال غرب | ۱۶,۶۶ | ۱۶۰,۹۲۶۷ | ۱۵,۳۷ | ۱,۰۸ |
| نقشه انحصار | | | | |
| انحصاری مقرر | ۳۰,۰۰ | ۳۸۶,۳۶۲۸ | ۳۶,۹۰ | ۰,۸۱ |
| صف | ۲۳,۳۳ | ۲۶۳,۷۶۱۵ | ۲۵,۱۹ | ۰,۹۲ |
| انحصاری محدود | ۴۶,۶۷ | ۳۹۶,۸۹۳۹ | ۳۷,۹۱ | ۱,۳۳ |
| شاخص روابط توپوگرافی | | | | |
| < ۷ | ۱۰,۰۰ | ۳۰,۶۳۹۲۰ | ۲۹,۲۶ | ۰,۳۴ |
| ۷-۱۰ | ۳۶,۶۷ | ۴۶۶,۱۴۵۴ | ۴۴,۵۲ | ۰,۸۲ |
| ۱۰-۱۵ | ۳۰,۰۰ | ۲۵۳,۱۹۶۲ | ۲۴,۱۸ | ۱,۲۴ |
| > ۱۵ | ۲۳,۳۳ | ۲۱۲,۸۴۵ | ۲,۰۳ | ۱۱,۴۷ |
| تراکم زهکشی | | | | |
| < ۰,۲۵ | ۲۰,۰۰ | ۳۰,۶۶,۷۲ | ۲۹,۲۸ | ۰,۶۸ |
| ۰,۲۵-۰,۳۶ | ۲۶,۶۷ | ۳۸۵,۵۹۸۹ | ۳۶,۸۳ | ۰,۷۲ |
| ۰,۳۶-۰,۴۷ | ۱۳,۳۳ | ۱۹۵,۳۸۰۳ | ۱۸,۶۶ | ۰,۷۱ |
| ۰,۴۷-۰,۵۸ | ۳۶,۶۷ | ۱۲۷,۰۸۳۷ | ۱۲,۱۳ | ۳,۰۲ |
| > ۰,۵۸ | ۳,۳۳ | ۳۲۲,۳۵۷ | ۳,۱۰ | ۱,۰۷ |
| (m) ارتفاع | | | | |
| < ۱۵۰۰ | ۲۰,۰۰ | ۴۴۲,۲۴۹۲ | ۴۲,۲۳ | ۰,۴۷ |
| ۱۵۰۰-۲۰۰۰ | ۴۰,۰۰ | ۱۷۵,۹۳۴۷ | ۱۶,۸۰ | ۲,۳۸ |
| ۲۰۰۰-۲۵۰۰ | ۲۶,۶۷ | ۲۱,۰۶۷۳۱ | ۲۰,۱۲ | ۱,۳۲ |
| ۲۵۰۰-۳۰۰۰ | ۱۳,۳۳ | ۱۴,۰۸۱۱۷ | ۱۳,۴۵ | ۰,۹۹ |
| > ۳۰۰۰ | ۰,۰۰ | ۷۷۳,۴۹۶ | ۷,۳۹ | ۰,۰۰ |
| (mm) بارش | | | | |
| < ۳۰۰ | ۲۰,۰۰ | ۴۲۳,۹۱۴۶ | ۴۰,۴۸ | ۰,۴۹ |
| ۳۰۰-۴۰۰ | ۴۰,۰۰ | ۲۹۶,۳۶۱۴ | ۲۸,۳۰ | ۱,۴۱ |
| ۴۰۰-۵۰۰ | ۳۳,۳۳ | ۱۸,۱۱۳۳۲ | ۱۷,۳۰ | ۱,۹۲ |
| ۵۰۰-۶۰۰ | ۰,۰۰ | ۸۰,۰۸۴۲ | ۷,۶۵ | ۰,۰۰ |
| > ۶۰۰ | ۶,۳۴ | ۶۵۵,۱۸۶ | ۶,۲۷ | ۲,۰۶ |



شکل ۶. پهنه‌بندی خطر سیل استان البرز با مدل نسبت فراوانی

نتایج بررسی سیل استان البرز با استفاده از مدل نسبت فراوانی نشان می‌دهد که بیش از ۳۴ درصد از مساحت استان را پهنه‌هایی با خطر زیاد و خیلی زیاد تشکیل می‌دهد. شهرستان‌های طالقان و کرج نیز دارای بیشترین خطر سیل‌گیری هستند که لزوم توجه و مدیریت در این مکان‌ها را با توجه به تراکم بالای جمعیتی به خود جلب می‌کند (جدول‌های ۸ و ۹).

جدول ۸. درصد مساحت پهنه‌های مختلف مخاطره سیل به تفکیک شهرستان در استان البرز

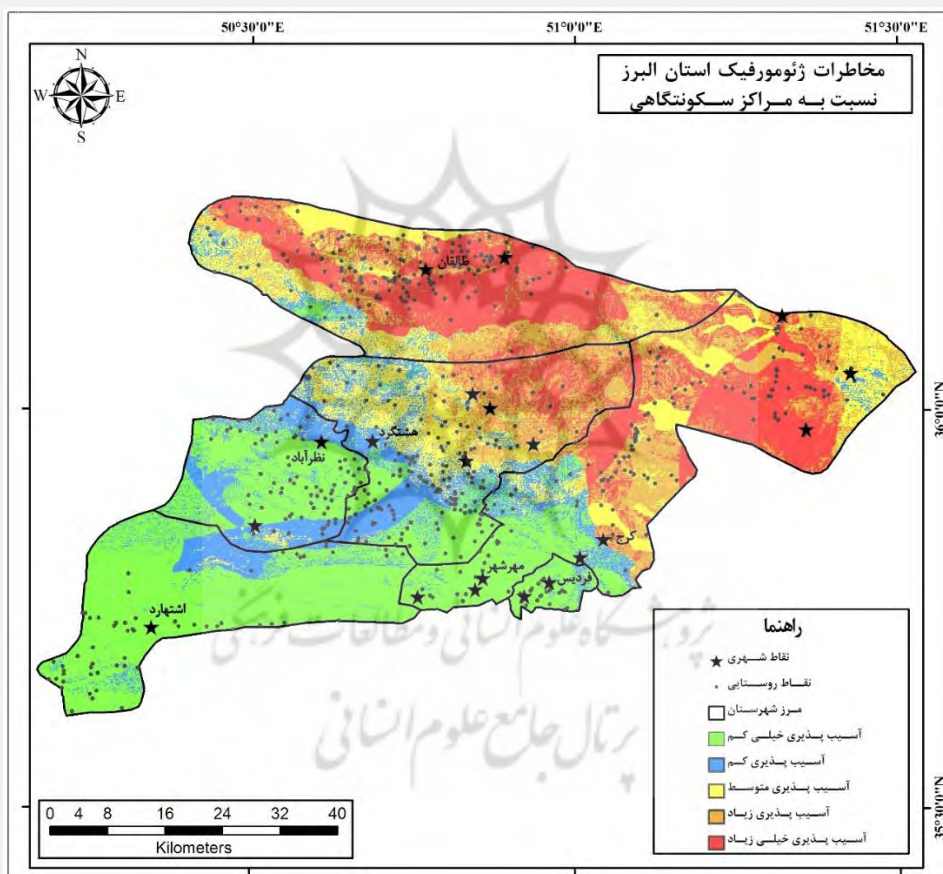
| درصد مساحت پهنه‌های مختلف مخاطره سیل استان البرز | | | | | نام شهرستان |
|--|-------|-------|-------|---------|-------------|
| خیلی زیاد | زیاد | متوسط | کم | خیلی کم | |
| ۲۶,۸۳ | ۲۱,۲۷ | ۲۴,۴۶ | ۱۶,۱۶ | ۱۱,۲۸ | کرج |
| ۴۴,۹۲ | ۲۱,۱۰ | ۱۷,۶۷ | ۱۲,۵۷ | ۳,۷۴ | طالقان |
| ۱۹,۰۵ | ۱۵,۳۴ | ۱۹,۸۷ | ۲۸,۶۱ | ۱۷,۱۳ | ساوجبلاغ |
| . | ۲,۶۳ | ۱۸,۵۴ | ۶۲,۷۹ | ۱۶,۰۴ | نظرآباد |
| . | ۱,۳۰ | ۱۴,۲۷ | ۶۶,۲۶ | ۱۸,۱۷ | اشتهارد |
| ۶,۶۹ | ۸,۶۷ | ۳۵,۷۴ | ۴۱,۰۹ | ۷,۸۱ | فریدیس |

جدول ۹. مساحت هریک از پهنه‌های مخاطره سیل استان البرز

| درصد مساحت | مساحت (km ²) | پتانسیل خطر |
|------------|--------------------------|-------------|
| ۱۴,۸۰ | ۷۶۱,۰۱ | خیلی کم |
| ۲۶,۵۶ | ۱۳۶۵,۷۱ | کم |
| ۲۲,۲۱ | ۱۱۴۲,۰۴ | متوسط |
| ۲۴,۹۹ | ۱۲۸۴,۹۸ | زیاد |
| ۱۱,۴۴ | ۵۸۸,۲۴ | خیلی زیاد |

تهیه نقشه تلفیقی مخاطرات ژئومورفیک (سیل و لغزش) استان البرز

پس از اینکه هر یک از مخاطرات سیل و لغزش به طور جداگانه در سطح استان بررسی شد و نقشه‌های پهنه‌بندی خطر آن‌ها تولید شد، بهمنظور داشتن دیدی کلی و جامع نسبت به وضعیت این دو مخاطره، نقشه تلفیقی مخاطرات استان، که از همپوشانی دو نقشه فوق است، تهیه شد. بدین منظور، دو لایه نهایی، که شامل پهنه‌بندی خطر زمین‌لغزش و پهنه‌بندی سیل استان البرز است، با استفاده از مدل فازی گاما و از طریق همپوشانی فازی روی هم قرار گرفت و نقشه پهنه‌بندی مخاطره سیل و لغزش استان البرز ترسیم شد (شکل ۷). در این پژوهش از میان اپراتورهای مختلف، اپراتور گامای فازی و از میان گامای ۰/۷ و ۰/۸ و ۰/۹، گامای ۰/۹ بهدلیل حساسیت مناسب آن برای تهیه نقشه نهایی پهنه‌بندی نواحی آسیب‌پذیر انتخاب شد. جدول‌های ۱۱ و ۱۲ نتایج تلفیق نقشه مخاطرات را بهتفکیک میزان خطر و شهرستان نشان می‌دهند. شکل ۷ نیز نقشه پراکندگی انواع مخاطرات در استان البرز را نشان می‌دهد.



شکل ۷. نقشه پهنه‌بندی خطر سیل و لغزش استان البرز

جدول ۱۰. مساحت هریک از پهنه‌های مخاطرات ژئومورفیک استان البرز

| درصد مساحت | مساحت (km ²) | پتانسیل خطر |
|------------|--------------------------|-------------|
| ۲۵,۴۰ | ۱۳۰۶,۰۷ | خیلی کم |
| ۱۴,۷۱ | ۷۵۶,۳۹ | کم |
| ۱۸,۵۹ | ۹۵۵,۸۹ | متوسط |
| ۱۱,۸۳ | ۶۰۸,۳۰ | زیاد |
| ۲۹,۴۷ | ۱۵۱۵,۳۴ | خیلی زیاد |

جدول ۱۰ گویای آن است که بیش از ۴۰ درصد از سطح استان البرز نسبت به دو مخاطره سیل و لغزش حساس است و پتانسیل ایجاد خطر در این نواحی خیلی زیاد است. همچنین، این نواحی پُرخطر بیشتر شامل مراکز سکونتگاهی پُرجمعیت شهری است که لزوم توجه به مدیریت صحیح در این مناطق را بیشتر قوت می‌بخشد. در ادامه، وضعیت پهنه‌بندی مخاطرات ژئومورفیک استان به تفکیک شهرستان نشان داده شده است (جدول ۱۱).

جدول ۱۱. درصد مساحت پهنه‌های مختلف مخاطرات ژئومورفیک به تفکیک شهرستان

| درصد مساحت پهنه‌های مختلف مخاطرات سیل و لغزش | | | | | | نام شهرستان |
|--|-------|-------|-------|---------|--|-------------|
| خیلی زیاد | زیاد | متوسط | کم | خیلی کم | | |
| ۵۲/۲۱ | ۵۶۷ | ۱۴/۵۹ | ۱۱/۱۲ | ۱۶/۴۱ | | کرج |
| ۶۰/۸۶ | ۱۰۰۷ | ۱۳/۱۱ | ۸/۶۵ | ۷/۳۱ | | طالقان |
| ۱۴/۱۶ | ۱۲/۱۸ | ۳۲/۲۳ | ۲۴/۱۷ | ۱۷/۲۶ | | ساوجبلاغ |
| . | ۲/۵۶ | ۹/۳۹ | ۲۷/۷۱ | ۶۰/۳۴ | | نظرآباد |
| . | ۴/۱۷ | ۱۱/۳۲ | ۲۵/۱۱ | ۶۲/۴۷ | | اشتهارد |
| . | ۳/۲۸ | ۹/۹۱ | ۳۹/۵۶ | ۴۷/۲۵ | | فردیس |

جدول ۱۲. وضعیت سکونتگاه‌های انسانی استان البرز

| نام شهرستان | تعداد نقاط شهری | تعداد نقاط روستایی | جمعیت کل شهرستان (۱۳۹۵) | بررسی وضعیت سکونتگاه‌های انسانی استان البرز به تفکیک شهرستان |
|-------------|-----------------|--------------------|-------------------------|--|
| کرج | ۲۷/۹۷ | ۷۳ | ۸ | ۱۹۷۳۴۷۰ |
| طالقان | ۲۳/۴۸ | ۸۲ | ۲ | ۱۶۸۱۵ |
| ساوجبلاغ | ۲۰/۰۸ | ۹۱ | ۵ | ۲۵۹۹۷۳ |
| نظرآباد | ۹/۹۷ | ۵۲ | ۲ | ۱۵۲۴۳۷ |
| اشتهارد | ۱۶/۹۳ | ۴۶ | ۱ | ۳۷۸۷۶ |
| فردیس | ۱/۵۵ | ۱۱ | ۲ | ۲۷۱۸۲۹ |

بحث و نتیجه‌گیری

نتایج بررسی لغزش استان البرز گویای این مطلب است که در شهرستان‌های طالقان و کرج، به دلیل شرایط طبیعی منطقه از لحاظ شاخص‌های مورد نظر، امکان رخداد پدیده لغزش زیاد است، زیرا در این شهرستان‌ها شرایط بارش نسبتاً خوب است و عمدتاً پوشش گیاهی از نوع مراتع فقیر است که باعث شده شرایط زهکشی مناسبی وجود نداشته باشد و وجود خاک‌های کمتر توسعه‌یافته و سنگ بستر عمدتاً نفوذناپذیر، ارتفاع، و شب نسبتاً بالا در این مناطق و وجود گسل‌های زیاد شرایط رخداد پدیده لغزش را فراهم کرده است. بنابراین، همان‌گونه که خروجی نقشهٔ پهنه‌بندی لغزش استان نشان می‌دهد، بیش از ۴۰ درصد سطح این دو شهرستان در مناطق با خطر زیاد قرار گرفته است.

در ارتباط با مخاطره سیل نیز شرایط طبیعی گفته شده در مورد لغزش پابرجاست و شاخص‌هایی مثل حساسیت به فرسایش، کاربری اراضی، فاصله از رودخانه‌ها، میزان بارش، ارتفاع بارش، و میزان و جهت شب باعث شده است که توان سیل‌خیزی در استان وجود داشته باشد و بالطبع به دلیل غلبهٔ این شاخص‌ها در شهرستان‌های طالقان و کرج و ساوجبلاغ به ترتیب شاهد بیشترین خطر سیل‌خیزی هستیم.

همان‌طور که جدول ۱۱ نشان می‌دهد، دو شهرستان طالقان و کرج نسبت به وقوع مخاطرات ژئومورفیک حساس و آسیب‌پذیرترند، زیرا درصد مساحت طبقات خطر زیاد و خیلی زیاد این دو شهرستان مقادیر بسیار زیادی است. از طرفی

دیگر، بیشتر نقاط سکونتگاهی استان از نظر خطرهای سیل و زمین‌لغزش در نواحی با ریسک زیاد قرار دارد که این موضوع لزوم برنامه‌ریزی بیشتر و دقیق‌تر را برای جلوگیری از خطرهای حاصله و خسارات به وجود آمده ناشی از این خطرها نشان می‌دهد.

برای بررسی میزان دقت و صحت‌سنجی مدل‌های به کار گرفته شده، همان‌طور که نقشه‌های نهایی پهنه‌بندی لغزش و سیل استان نشان می‌دهد، از لایه‌های نقاط لغزش و سیلاب تاریخی استان استفاده شد. نتایج همپوشانی نقشه‌ها گواه آن است که اغلب نقاط لغزش و سیل تاریخی استان، که در گذشته به‌وقوع پیوسته، مطابق با مناطق با خطر زیاد و خیلی زیاد نقشه‌های پهنه‌بندی است (شکل‌های ۵ و ۶). بنابراین، این یافته‌ها گویای آن است که مدل‌های فوق در منطقه مورد مطالعه کارایی و دقت لازم را دارند.

در ادامه، برای بررسی وضعیت مراکز سکونتگاهی استان البرز نسبت به مخاطرات ژئومورفیک و میزان انطباق و مکان‌یابی صحیح این مراکز (شهری و روستایی) مطالعه‌ای انجام گرفت که حاکی از استقرار بیشتر مراکز شهری و روستایی در نواحی پُرخطر است (جدول ۱۲). مثلاً، شهرستان کرج، که حدود ۲۸درصد از سطح استان را به خود اختصاص داده و جمعیتی در حدود ۲ میلیون نفر دارد، بیش از ۵۲درصد از این شهرستان در پهنه با خطر خیلی زیاد مخاطرات سیل و لغزش قرار گرفته است که باید نسبت به وقوع خطرهای احتمالی در آن آگاه‌سازی و تدبیر لازم اندیشیده شود تا از خسارات وقوع احتمالی آن‌ها کاسته شود. توجه به مراکز سکونتگاهی و داشتن دید جامع و تلفیقی به موضوع مخاطرات (سیل و لغزش) و همچنین لحاظ کردن نقاط تاریخی وقوع لغزش و سیلاب گذشته استان از وجوده تمایز این پژوهش نسبت به سایر مطالعات در حوزه پهنه‌بندی مخاطرات است.

منابع

- دارابی، ح؛ شاهدی، ک. و مردان، م. (۱۳۹۵). تهیه نقشه‌های خطر احتمال و حساسیت سیل با استفاده از روش نسبت فراوانی در حوضه آبخیز پل دوآب شازند، نشریه علمی-پژوهشی مهندسی و مدیریت آبخیز، ۸(۱): ۶۸-۷۹.
- سپهر، ع؛ بهنیافر، ا؛ محمدیان، ع. و عبدالهی، ا. (۱۳۹۲). تهیه نقشه حساسیت‌پذیری زمین‌لغزش دامنه‌های شمالی بینالود بر پایه الگوریتم بهینه‌سازی توافقی ویکور، پژوهش‌های ژئومورفولوژی کمی، ۲(۱): ۱۹-۳۶.
- Arianpour, M. and Jamali, A. (2015). Flood Hazard Zonation using Spatial Multi-Criteria Evaluation (SMCE) in GIS (Case Study:Omidieh-Khuzestan), European Online Journal of Natural and Sciences, 4(1): 39-49.
- Bakhtyari kia, M.B.; Pirasteh, S.; Pradhan, B.; Mahmud, A.R.; Sulaiman, W.N.A. and Moradi, A. (2012). An artificial neural network model for flood simulation using GIS: Johor river basin, Malaysia, Environmental Earth Sciences, 67(1): 254-264.
- Cao, Ch.; Xu, P.; Wang, Y.; Chen, J.; Zheng, L. and Niu, C. (2016). Flash Flood Hazard Susceptibility Mapping Using Frequency Ratio and Statistical Index Methods in Coalmine Subsidence Areas, Sustainability, 8(9): 948-966.
- Crozier, M.J. (2017). A proposed cell model for multiple-occurrence regional landslide events: Implications for landslide susceptibility mapping, Geomorphology, 295: 480-488.
- Darabi, H.; Shahedi, K. and Mardian, M. (2016). Preparation of flood probable risk and susceptibility maps using the frequency ratio method in the watershed basin of Do-ab Bridge of Shazand, Watershed Engineering and Management, 8(1): 68-79.
- Jiménez-Perálvarez, J.D.; El Hamdouni, R.; Palenzuela. J.A.; Irigaray, C. and Chacón, J. (2017). Landslide-hazard mapping through multi-technique activity assessment: an example from the Betic Cordillera (southern Spain), Landslides, 14(6): 1975-1991.
- Ghafory, M. (2005). Earthquake Risk Management Strategic: The Iranian Experience, Tehran, UNESCO Office and International Institute of Earthquake Engineering and Seismology (IIEEs), PP. 1-9
- Karimi Sangchini, E.; Ownegh, M.; Sadaldin, A. and Mashayekhan, A. (2012). Probabilistic Landslide Risk Analysis and Mapping (Case Study: Chehel-Chai Watershed, Golestan Province, Iran), Journal of Rangeland Science, 2(1): 425-438.
- Khosravi, KH.; Nohani, E.; Maroufinia, E. and Pourghasemi, H.R. (2016). A GIS-based flood susceptibility assessment and its mapping in Iran: a comparison between frequency ratio and weights-of-evidence bivariate statistical models with multi-criteria decision-making technique, Nat Hazards, 83(2): 947-987.
- Kumar, R. and Anbalagan, R. (2015). Landslide susceptibility zonation in part of Tehri reservoir region using frequency ratio, fuzzy logic and GIS, Journal Earth System Sciences, 124(2): 431-448.
- Leonardi, G.; Palamara, R. and Cirianni, F. (2016). Landslide Susceptibility Mapping Using a Fuzzy Approach, World Multidisciplinary Civil Engineering-Architecture-Urban Planning Symposium 2016, Procedia Engineering, 161: 380-387.
- Li, L.; Lan, H.; Guo, Ch.; Zhang, Y.; Li, Q. and Wu, Y. (2016). A modified frequency ratio method for landslide susceptibility Assessment, Landslides, 14(2): 727-741.
- Malekian, A. and Azarnivand, A. (2016). Application of Integrated Shannon's Entropy and VIKOR Techniques in Prioritization of Flood Risk in the Shemshak Watershed, Iran, Water Resources Management, 30(1): 409-425.
- Pellicani, R.; Van Westen, C.J. and Spilotro, G. (2014). Assessing Landslide Exposure in Areas with Limited Landslide Information, Landslide, 11(3): 463-480.

- Rahmati, O.; Pourghasemi, H.R. and Zeinivand, H. (2015). Flood susceptibility mapping using frequency ratio and weights-of-evidence models in the Golastan Province, Iran, Geocarto International, 31(1) 42-70.
- Ramesh, V. and Anbazhagan, S. (2014). Landslide susceptibility mapping along Kolli hills Ghat road section (India) using frequency ratio, relative effect and fuzzy logic models, Environmental Earth Sciences, 73(12): 8009-8021.
- Sepehr, A.; Behniafar, A.; Mohammadian, A. and Abdollahi, A. (2013). Preparing susceptibility map of landslide in northern Binalud hillsides based on VIKOR consensus optimization algorithm, Journal of Quantitative geomorphological researches, 2(1): 19-36.

